

鳥取大学工学部 正員 木村 靖  
京都大学工学部 正員 岩垣 雄一

1.はじめに：浅海域における不規則波浪は、水深の減少とともに波形の変化が少くなくなり、水深が一定であれば比較的長い正規、波高・周期をほぼ一定に保ちつつ伝播する。このような状態にある不規則波の日々の波は規則波と同様に峰が尖り、谷が平坦になるという非線型性の特徴を示し始め、水深の減少とともにその特性が増大する。この非線型性は直角水位の程度分布の skewness を尺度として評価されることが多い、非線型性の増大とともにこの値が増加していくことが知られている。この skewness の値は、不規則波をゼロアーチワロス法で日々の波に分配し、同じ波高・周期を持つ規則波とあきかえて計算することにより定量的にも推定し得ることが著者らの研究により明らかになっている。しかしながら、波高・周期のほぼ等しい数十波の平均波形とノイード波と規則波の波動理論との比較において、不規則波の波形に若干前かがみの特徴があることも見いたされた。これは斜面上の規則波にも共通に見られる特徴である。そこで、この研究はこうした斜面の配分で規則波の非線型性に及ぼす影響について検討したものである。

2.解析に用いたデータ：この研究で用いたデータは著者らによる不規則波浪のビューレーション実験の結果 (Pierson-Moskowitz 型スペクトルで  $\pi = 7$  周波数を  $0.4 \text{ Hz}$  から  $1.2 \text{ Hz}$  まで  $0.1 \text{ Hz}$  きざみで変化させた計 9 テースの不規則波を  $i = 1/10, 1/20$  の 2 種の斜面上に作用させたもの) と京都大学琵琶湖波浪観測ケーブルセンターが彦根地区において行った観測結果 (湖底の平均勾配は  $1/70$ ) である。

3. 解析結果ならびに考察：skewness  $\sqrt{\beta_1}$  の値は  $T_m \sqrt{g/h} / T_m$  (平均周期,  $h$ ; 水深) と共に増加する。その一例を示したもののが図-1 であり、琵琶湖における観測データをプロットしたものである。図からわかるように  $T_m \sqrt{g/h} = 3.0$  程度から無数に  $\sqrt{\beta_1}$  の値が増加し始め、 $T_m \sqrt{g/h} = 9.0$  付近で  $\sqrt{\beta_1} = 1.0$  程度まで増加している。この特性をさらに斜面上の波について検討したもののが図-2, 3 である。図-2 が  $i = 1/10$ , 図-3 が  $i = 1/20$  の斜面を用いた実験の結果である。両図とも同じテースの実験波は直線で結んである。図からわかるように、いずれのケースも量の大小はあるものの  $T_m \sqrt{g/h}$  の増加にともない  $\sqrt{\beta_1}$  の値も大きくなっている。しかししながら両図とも図-1 に比較して各テースの実験結果にかなり大きな差異が見られ、 $f_p$  ( $\pi = 7$  周波数) が  $0.4 \text{ Hz}$  ～  $0.7 \text{ Hz}$  の各データは  $f_p = 0.8 \text{ Hz}$  ～  $1.2 \text{ Hz}$  のデータに比べて幾分小さな値を示し、 $f_p = 0.8 \text{ Hz}$  ～  $1.2 \text{ Hz}$  の各データはほぼ同じ値を示している。この点について検討したもののが図-4(a), (b) であり、左  $i = i = 1/20$  で (a)  $f_p = 0.5 \text{ Hz}$ , (b)  $f_p = 0.9 \text{ Hz}$  の実験結果である。図中の W-1, 6, 8, 10, 12 は波高計の番号であり、各段の水深はそれぞれ 50, 40, 30, 20 および 10 cm である。図中にあわせて引いた直線は Phillips による平衝スペクトルの理論式である。図からわかるように、 $f_p = 0.9 \text{ Hz}$  のケースは高周波側のスペクトル値が理論式とほぼ一致しており、この不規則波は飽和状態にあることがわかる。しかし、(a) の  $f_p = 0.5 \text{ Hz}$  のスペクトルは理論式よりも幾

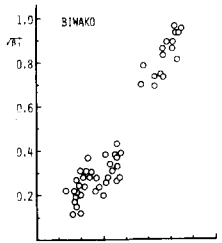


図-1

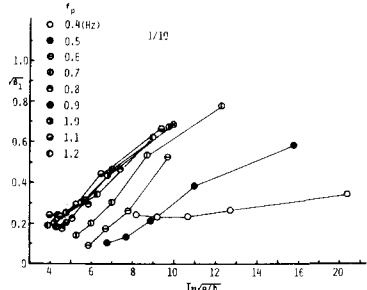


図-2

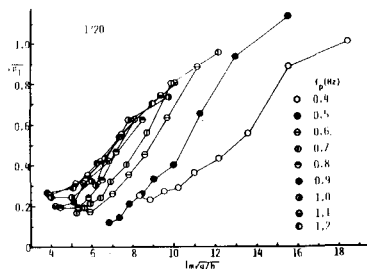


図-3

分子下く、飽和状態に達していよい。一方、 $f_p = 0.8 \text{ Hz} \sim 1.2 \text{ Hz}$  の不規則波はいずれもほぼ飽和状態にあり、したがってこれらの各ケースの実験値は図-1 の琵琶湖における観測結果と同様、十分発達した風波と同じ特性を持つと考えてよい。図-2, 3 の両図とも  $f_p = 0.8 \text{ Hz} \sim 1.2 \text{ Hz}$  の各ケースの実験結果は一致しており、飽和状態にある不規則波浪の非線形特性の変化は図-1 と同様、 $T_m \sqrt{g/h}$  で整理すればほぼ一本の曲線上に載ってくることがわかる。飽和状態に達していよい不規則波は  $T_m \sqrt{g/h}$  の増加とともに  $\sqrt{h}$  の値は増加するが、これより線形小さ目の値を示す。しかしながら、図-3 の  $f_p = 0.7 \text{ Hz}$  の実験値のように、 $T_m \sqrt{g/h} = 10$  程度まで  $\sqrt{h}$  の値が一定の増加傾向を示すが、 $T_m \sqrt{g/h}$  がさらに増加すると  $\sqrt{h}$  の増加率が減り、前に示した飽和状態の不規則波の  $T_m \sqrt{g/h}$  と  $\sqrt{h}$  の関係とほぼ一致してくる。このケースにおいては、このデータ-タの傾き曲り戻 ( $h = 15 \text{ cm}$ ) 付近から岸側にかけて多くの波が碎波していることが観察される。図-2 の  $f_p = 0.4 \text{ Hz}, 0.5 \text{ Hz}$  のケースではほとんど碎波が見られないが、これはこれらの結果から、 $T_m \sqrt{g/h}$  との関連において  $\sqrt{h}$  の値がこれ以上にはほぼ同じという限界の存在するところが予想される。図-1, 2, 3 の各データをもとに決定した限界線を示すものが図-5 である。数多くのデータ-タにも、この線より上側にプロットされたものはなく、実験値あるいは観測値がこの線上にプロットされた場合には飽和状態にあり、逆に下側にプロットされた不規則波にはあまり碎波が見られないと考えてよい。また、この図からわかるように、斜面勾配に依る限界曲線には少しあつた差があり、勾配の減少とともに徐々に左側に移っている。この長さを検討するために合田<sup>2)</sup>が用いたハーメーター  $h^2/H_0 L$  ( $H_0$ : 相当深水有義波高,  $L$ : 波長) を用いて整理したもののが図-6 である。図中には合田の実験結果と図-1, 2, 3 の飽和状態にあるデータをあわせて示した。図からわかるように、このハーメーターを用いた解析においてもやはり  $\sqrt{h}$  はあるかの勾配の影響を見る。さらに図中に破線で示した  $Y(f)$  の実験結果が  $Y(f)$  の斜面の結果より幾分大きい。このことから斜面勾配の減少とともに限界状態の  $\sqrt{h}$  の増加傾向は  $\sqrt{h} = 1/50$  付近で極値をとるようである。したがって、斜面勾配がさすら減少すると  $\sqrt{h}$  の増加の割合はしだいにゆるやかになってくると考えられる。また合田の実験結果にも見られるように、水深の減少とともに  $\sqrt{h}$  の値は増加するが、ある点で極大値をとり、それ以後は逆に水深の減少とともに  $\sqrt{h}$  の値も低下してくるようである。著者らのデータ-タは碎波限より浅い領域のもののが少く、この点に関する検討はできなかった。

4. おわりに: 不規則波の波形の変化を水位の頻度分布の skewness を尺度として評価し、斜面上での変化の特性を検討した。その結果、十分発達した風波においては  $\sqrt{h}$  の値はピーク周波数  $f_p$  に依存なくほぼ一定の曲線を変化してゆくこと、その変化的割合は斜面勾配の減少とともに急にあり、 $\sqrt{h} = 1/50$  付近で極値をとることなどがわかった。最後にこの研究は文部省科学研究所による研究の一環であることを記して感謝の意を表す。参考文献: 1) 木村・岩田: 第33回土木学会年講, 昭53, p.832-833.
- 2) 合田: 海研報告第14巻第3号, 1975, pp.59-106

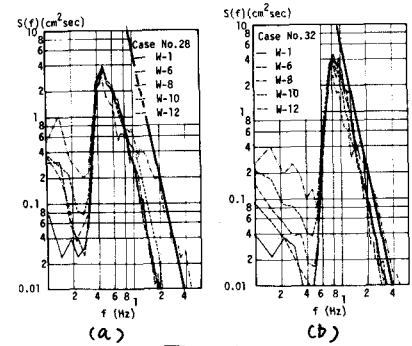


図-4

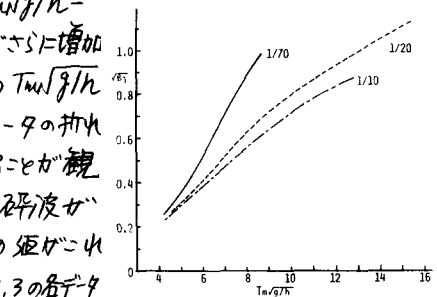


図-5

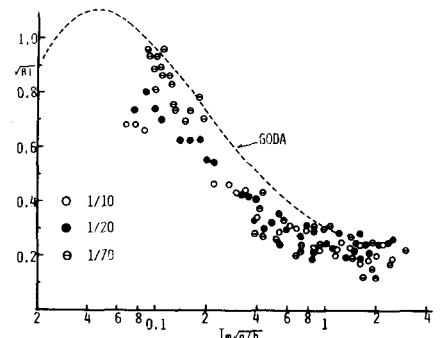


図-6